

INFORME DE PRUEBAS DE ANTIGEORADIC

Barcelona, 15 de octubre de 2007

ANA MARIA OLIVA BRAÑAS

Profesional experto en tecnologías GDV (Gas Discharge Visualization)

1. OBJETIVO

El objetivo del presente proyecto es comprobar de una manera científica la efectividad de los protectores ANTIGEORADIC frente a las radiaciones electromagnéticas y telúricas, y cómo dichos productos mejoran el estado energético general de la persona.

La hipótesis a confirmar es que los protectores mencionados tienen un efecto real sobre el campo energético humano, neutralizando los efectos nocivos de 2 o más fuentes de radiaciones electromagnéticas, de geopatías y, en algunos casos, mejorando el estado de salud general. Para ello se deben realizar una serie de pruebas para valorar el nivel de desarmonización que se produce en el cuerpo humano a causa de las radiaciones electromagnéticas nocivas y cómo los productos testados son capaces no sólo de neutralizarlas sino además de permitir una reconstrucción del campo energético y por tanto una mejora en todos los órganos y sistemas vitales.

Para efectuar dicho estudio se utilizará la tecnología GDV (Gas Discharge Visualization) creada por el profesor Korotkov, una de las pocas tecnologías actuales que permite valorar cualitativa y cuantitativamente el campo energético humano y estudiar la influencia que ejerce en la salud.

2. DESCRIPCIÓN DE LA TECNOLOGÍA GDV

Los equipos GDV son cámaras digitales para ordenador empleadas para obtener imágenes de campos de energía humanos (CEH) y de objetos.

Estos campos de energía no son visibles al ojo humano, por lo que se emplea un recurso técnico para hacerlo visible. Los sistemas de bioelectrografía GDV emiten un campo electromagnético que permite visualizar aproximadamente un centímetro del

campo de energía externo al cuerpo. Este campo emite en frecuencias sutiles y niveles de energía débiles.

Para poder hacerlo visible, las cámaras GDV emiten un campo electromagnético con las siguientes características:

- Alta frecuencia (1 KHz.).
- Baja intensidad,
- Alta diferencia de potencial.
- Impulsos muy cortos, del orden de milisegundos.

Este tipo de campo produce resonancia en el campo de energía humano, que se excita emitiendo fotones y electrones, y esta emisión es la que se puede fotografiar. El hecho de que los impulsos sean tan breves permite que solo se activen electrones y fotones, no existiendo movimiento de iones. De este modo se pueden estudiar las propiedades cuánticas del campo y se pueden repetir las mediciones sin que haya variaciones significativas entre ellas, si no han cambiado las condiciones a las que está sometido el sujeto. Eso permite aplicar el método científico, cosa que otras tecnologías no soportan actualmente.

Las principales características técnicas de los equipos GDV son las siguientes:

- **Lente conductora de cuarzo:** La lente es de cuarzo, y no de vidrio, porque el cuarzo es transparente a las frecuencias ultravioletas y el vidrio no. La capacidad conductora de la lente se obtiene basándose en una tecnología secreta desarrollada en una planta militar rusa.
- **Sistema óptico CCD:** Permite la captura de imágenes digitalizadas.
- **Tarjeta electrónica:** Compuesta por dos microprocesadores y unos doscientos componentes electrónicos. Genera el campo electromagnético necesario para visualizar el campo de energía humano.
- **Puerto USB multifunción:** Permite a la vez la recepción de la imágenes digitales en el ordenador, y el control completo de la cámara desde el propio ordenador.

I. DESCRIPCIÓN DE LOS PRODUCTOS

Los productos objeto del test son :

- ANTIGEORADIC Nº 1 (color Whisky) Protege de los efectos nocivos que producen las Radiaciones Electromagnéticas de : 1 teléfono móvil y 1 ordenador (protege de dos fuentes distintas de Radiación Electromagnética) en el organismo humano y son: Estrés, Insomnio, Astenia al levantarse, Dolor de cabeza o de espalda al levantarse, Dolores reumáticos, Astenia crónica, Problemas circulatorios y cardiacos, Parestesias en las extremidades, Nerviosismo, Irritabilidad, Estado de animo depresivo, Afectación al sistema inmunológico por la dificultad en la afectación de las toxinas, Enfermedades auto inmunes, Enfermedades degenerativas, Tendencias a Neoformaciones, etc...
- ANTIGEORADIC Nº 2 (color Verde) Protege de los mismos efectos nocivos que el Nº 1 Pero además tiene la capacidad de hacer frente a las Radiaciones Electromagnéticas de: 1 móvil, 1 ordenador, 1 transformador, 1 antena parabólica, (protege de cuatro fuentes distintas de radiaciones electromagnéticas) además protege el Organismo de Virus, Bacterias y Parásitos. Elimina la Toxicidad, fortalece la Energía Vital, el sistema Inmunológico y el sistema Emocional, así como de muchísimas Enfermedades.+
- ANTIGEORADIC Nº 3 (Antigeoradic) Protege de los mismos efectos nocivos y tiene las mismas cualidades que los protectores Nº 1 y Nº 2 Además, protege de todas las Geopatías, Radiaciones Telúricas y Electromagnéticas. Regenera y equilibra las Células del Organismo, Ayudando a la Autocuración del mismo. Y evitando que la Toxicidad que las Células puedan tener se produzca en estas, la agresividad que posteriormente causan muchas enfermedades en las personas y los animales.

El modelo Nº 1 tiene un alcance de protección frontal aproximadamente de 1,50 mt.

El “ Nº 2 “ “ “ “ “ “ “ “ “ “ Varios metros

El “ Nº 3 “ “ “ “ “ “ “ “ “ “ “ “ “

II. PROTOCOLO A SEGUIR

Por cálculos estadísticos, para que una muestra sea significativa y teniendo en cuenta que los datos que se alejen demasiado de la media son siempre descartados, es necesario realizar las mediciones sobre un grupo de unas 60 personas aproximadamente para cada producto.

Es necesario que las personas no estén utilizando ningún tipo de corrector energético ni realizando tratamientos que puedan enmascarar los efectos que se pretende medir: flores de Bach, tratamientos energéticos...

Se intentará que las personas estuvieran el máximo de aisladas posible de otras interferencias energéticas que puedan alterar los resultados, y que las mediciones se realicen en un lugar con unas condiciones adecuadas.

Hay que hacer constar que la energía requiere de un cierto tiempo para estabilizarse, y que este tiempo también depende de cada persona. A veces se observa un efecto contrario al esperado por un corto tiempo, y después una inversión de este movimiento (por ejemplo, después de un tratamiento a veces hay una “crisis curativa” que se manifiesta como una aparente desarmonización que posteriormente se convierte en un nuevo orden más armónico que el inicial). Por ello, según el momento en que se tome la imagen, podemos estar captando una parte del proceso u otra. En general, se estima que unos 20 minutos es un período de tiempo razonable para observar resultados.

Para ello, con la colaboración del Sr. Garrido, se puede seguir un protocolo que supone medir a cada persona primero kinesiológicamente y después con la máquina GDV para confirmar los resultados.

En concreto, la parte correspondiente a la GDV sería la siguiente:

Sacar imagen inicial de la persona como referencia. Para mayor exactitud en la medida, se tomarán 3 imágenes del estado inicial de la persona, para poder descartar posibles interferencias debidas a nervios, a la novedad del proceso... De entre las 3 imágenes se seleccionará una como la medida de referencia inicial.

- Someter a la persona a una radiación electromagnética durante 20 minutos. Obtener la nueva imagen
- Colocarle a la persona un nuevo protector y dejarla sometida a la radiación durante 20 minutos más. Obtener la nueva imagen,

El análisis de estas 3 imágenes nos mostrará cómo el protector es capaz de neutralizar los efectos de las radiaciones nocivas y de reequilibrar el campo energético de las personas, lo cual repercute en una mejora del estado de salud físico, emocional y mental.

III. ANÁLISIS DE LOS DATOS

La tecnología GDV incorpora un software de análisis de las imágenes obtenidas. Hay 3 programas que analizan los datos obtenidos a través de la cámara:

- el programa ENERGY FIELD básicamente ofrece una visión cualitativa del campo energético humano, en forma de imagen (frente y dos perfiles) del aura sobre una silueta predefinida. Ello nos permite visualizar la continuidad, ver dónde están los huecos de energía y las congestiones. También nos da los valores totales de energía y de simetría entre lado izquierdo y derecho del cuerpo. Permite comparar diferentes mediciones en la misma pantalla. Los colores que aparecen corresponden a una escala graduada de niveles de energía, no siendo colores reales de las emisiones de la persona.
- el programa DIAGRAM calcula los niveles medios de energía para cada órgano y sistema, ofreciendo la información en forma de gráfico (lado derecho y lado izquierdo) y de hoja de cálculo con todos los datos numéricos. En el gráfico se pueden superponer diferentes mediciones, para una visualización rápida y eficaz de los cambios en los niveles medios de energía. Ofrece también parámetros como el índice de homeokinesis o la entropía.
- El programa VIRTUAL CHAKRA ofrece una visualización cualitativa y cuantitativa de los niveles de energía en los chakras y su desviación hacia la polaridad “masculina” o hacia la “femenina”. Los datos se pueden visualizar en forma de gráfico sobre una silueta humana (cualitativa) o en forma de líneas sobre un eje (cuantitativa), estando la doble información en la misma pantalla. También permite comparar diferentes estados energéticos, siendo muy fácil ver los cambios que han ocurrido.

IV. PARÁMETROS DE VALORACIÓN DE LOS RESULTADOS OBTENIDOS

Para poder valorar los resultados obtenidos hay que tener en cuenta lo siguiente:

- Se sabe que las radiaciones no afectan por igual a todas las personas. Cada uno tenemos unos órganos o sistemas más “débiles”, que son los que primero sufren en caso de estar sometidos a situaciones de estrés. Por ello no es demasiado significativo valorar a qué órganos van las radiaciones.

- Las radiaciones son energía, por lo cual es realmente posible esperar que estar sometido a cualquier fuente de radiación repercuta en un aumento del nivel de energía del cuerpo. El incremento o disminución de la cantidad de energía no siempre es, pues, un parámetro significativo que indique una mejor salud. Además, en cuestiones energéticas, rige aquello de que “más no es siempre mejor”. Esto significa que a veces vemos mucha energía en un determinado órgano o sistema, incluso en la persona en general, que puede significar un mal flujo de la misma, una congestión energética. Dado que la energía sigue un proceso cíclico por órganos y sistemas, se considera más importante y significativo la **distribución de la energía entre órganos y sistemas**, como parámetro para ver que ese flujo se está produciendo de manera armoniosa y saludable. Cuanto mejor esté distribuida la energía, mejor están funcionando todos los órganos, y nos indica que no hay ninguno que esté en disfunción (que luego provocará una lesión o enfermedad)
- De la misma manera, cualquier sistema que reconstruya el campo energético va a intentar armonizar aquellas zonas en las que haya desequilibrio, ya sea por exceso o por defecto. Una valoración interesante será ver que el cuerpo, sometido a un estímulo rector, sea capaz de revertir los procesos de desequilibrio. A eso nos aproxima el parámetro del **índice de desequilibrio de la energía vital**. Cuanto más disminuya este índice, más cercana está al equilibrio la **energía vital** (la que permite que se lleven a cabo todos los procesos que nos mantienen vivos). Por tanto, es deseable que este índice disminuya en caso de armonización y equilibrado energético. Este parámetro es calculado en el programa Diagram, del que se adjuntan las tablas de resultados y recibe el nombre de **índice de homeokinesis (o equilibrio energético)**. Este parámetro nos indica precisamente la capacidad que tiene en ese momento de autoequilibrarse, es decir, de que un órgano que está en déficit energético pueda recibir de otro órgano la energía que le hace falta para equilibrarse. Ese parámetro es un buen indicativo de la salud general, porque nos dice qué tan preparados estamos para hacer frente a todos los desequilibrios que se van sufriendo a lo largo del día. Es sabido que cada órgano y sistema tiene unas horas de funcionamiento pico y otras de semi-reposo. En un cuerpo saludable, esto está perfectamente equilibrado y regulado, y los propios órganos ceden y reciben energía para mantener su equilibrio. Un índice de homeokinesis (RMS en el programa Diagram, valores que se adjuntan en las tablas) entre 0 y 0.4 nos indica una buena capacidad de equilibrio energético (mejor cuanto más bajo, es decir, “mejora” significa que disminuye). A medida que este valor aumenta, la capacidad del cuerpo va disminuyendo, propiciando las congestiones o déficits energéticos en los

órganos. Eso provocará una disfunción que puede llevar a una enfermedad si se sostiene demasiado en el tiempo.

- los niveles de **energía en los chakras** vuelven a indicarnos el funcionamiento de los mismos. Sabiendo que cada chakra tiene asociados unos órganos, la normalización de los valores energéticos en los chakras es un indicativo del buen funcionamiento de los órganos asociados a cada uno, y por tanto, de la salud global. Vuelvo a insistir en que lo importante no es que aumente o disminuya la cantidad de energía del chakra, sino que se normalice el nivel de energía. Tanto en el programa VIRTUAL CHAKRA como en el DIAGRAM, los valores que aparecen no son los valores globales de energía, sino la desviación de la media estadística por sexo y por edad, así que lo importante es que se acerquen al 0, patrón de referencia. Es por ello que la valoración no es “aumenta” sino “mejora” o en caso de máxima mejora, “se normaliza”, eso indica que funcionan de una manera equilibrada.
- Además, el programa nos permite cuantificar el equilibrio entre las dos polaridades (yin-yang) de cada persona, cosa que se indica como **equilibrio físico-emocional** de los chakras. Por tanto, una mejora en este parámetro significa una mejora en la integración de las dos polaridades que todos tenemos: masculino-femenino, razón-sentimiento, yang-yin, derecha-izquierda, hacer-sentir,... también eso se expresa como “simetría” en el ENERGYFIELD.
- Por último, se valora la medición del programa de la energía del **sistema inmunológico**, puesto que este es uno de los parámetros significativos para los productos del test. En cualquier caso, una variación de los niveles de energía en este sistema significa que el producto es capaz de afectarlo, habiendo que hacer un análisis profundo y global para valorar el resultado de esta variación. Para su valoración se utilizan los valores tabulados por el programa DIAGRAM
- Todas las muestras analizadas se realizan SIN FILTRO, es decir, sobre una lectura del campo energético asociado al mundo emocional de la persona. Eso significa que las variaciones en los niveles energéticos no sólo repercuten en la calidad de vida de su cuerpo físico, sino en el tipo de emociones que experimenta, y por tanto, en su forma de enfrentarse a los desafíos que propone el diario vivir. La valoración se hace transcribiendo los valores en órganos y sistemas, y no en su traducción al mundo emocional. Por ejemplo, se podría valorar una mejora en la autoestima, la tristeza, o la capacidad de manejar la prisa,... en lugar de un incremento o disminución de la energía de la zona en la que ese patrón se puede observar. La traducción a

la variación en las emociones puede ser objeto de otro análisis mucho más exhaustivo y complejo, pero igualmente interesante.

- Casi todos los datos que reflejan los programas están valorados respecto a la media estadística por sexo y por edad de los valores que se consideran normales. Por tanto, valores que se aproximan a la media son considerados valores saludables, y los desequilibrios aumentan conforme nos separamos de esas medias, ya sea por exceso o por defecto. En las representaciones gráficas de los programas VIRTUAL CHAKRA y DIAGRAM, las zonas de normalidad se representan como una franja verde que tiene en su interior una línea que representa el valor medio. Siempre que nos movamos dentro de la zona verde seguimos en zona de normalidad energética. en el caso del DIAGRAM, establece una zona rosada para el déficit energético y una zona amarilla para la congestión o exceso de energía.

A modo de ejemplo, algunos resultados de mediciones realizadas sobre estos productos¹ son los siguientes:

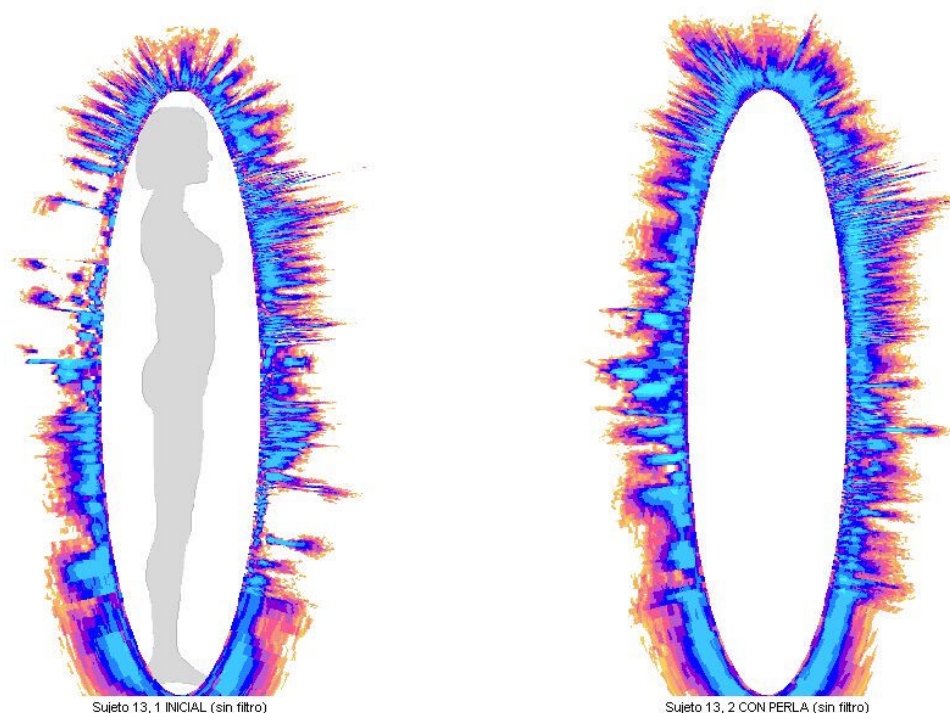
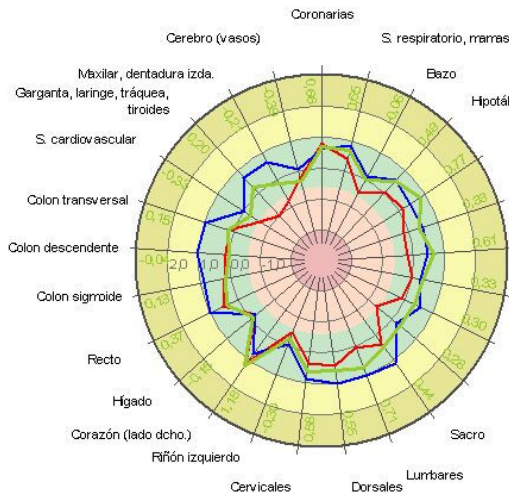


Fig 1: efecto del producto nº3 en el aura (ENERGY FIELD). Obsérvese la reconstrucción de la energía. Medición tomada en ausencia de radiaciones.

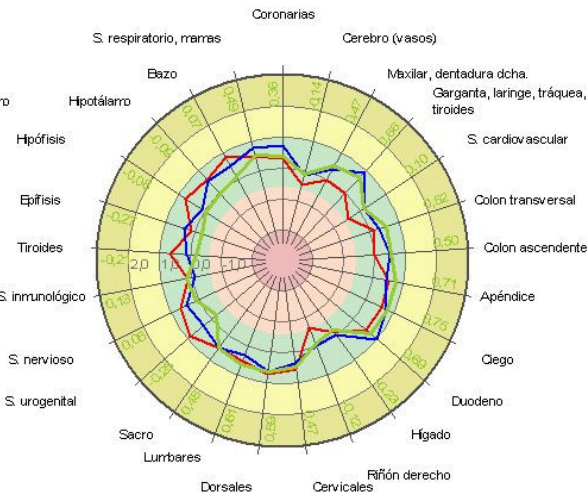
¹ Investigación realizada para el Sr Garrido entre los días 3 y 7 de octubre de 2007.

GDV Diagram
Lado izquierdo



JS(RMS)
0,29 (0,39)

Lado derecho



JS(RMS)
0,25 (0,35)

Los diagramas muestran los valores de:
sujeto 3 - DESPUES GEOPATIA Y PROTECTOR - Imágenes GDV sin filtro

NP		JS izquierdo	RMS izquierdo	JS derecho	RMS derecho	Activación
1	sujeto 3 - DOMINGO1 - Imágenes GDV sin filtro	-0,04	0,50	0,27	0,42	
2	sujeto 3 - 20 MINUTOS GEOPATIA - Imágenes GDV sin filtro	0,53	0,39	0,35	0,31	
3	sujeto 3 - DESPUES GEOPATIA Y PROTECTOR - Imágenes GDV sin filtro	0,29	0,39	0,25	0,35	

©Kirilonic Technologies International

Fig 2: efecto del producto nº3 en el aura (DIAGRAM). La geopatía le provoca una alteración en el campo energético (patrón de congestión básicamente) mientras que al añadirle el protector, se mejoran los valores.

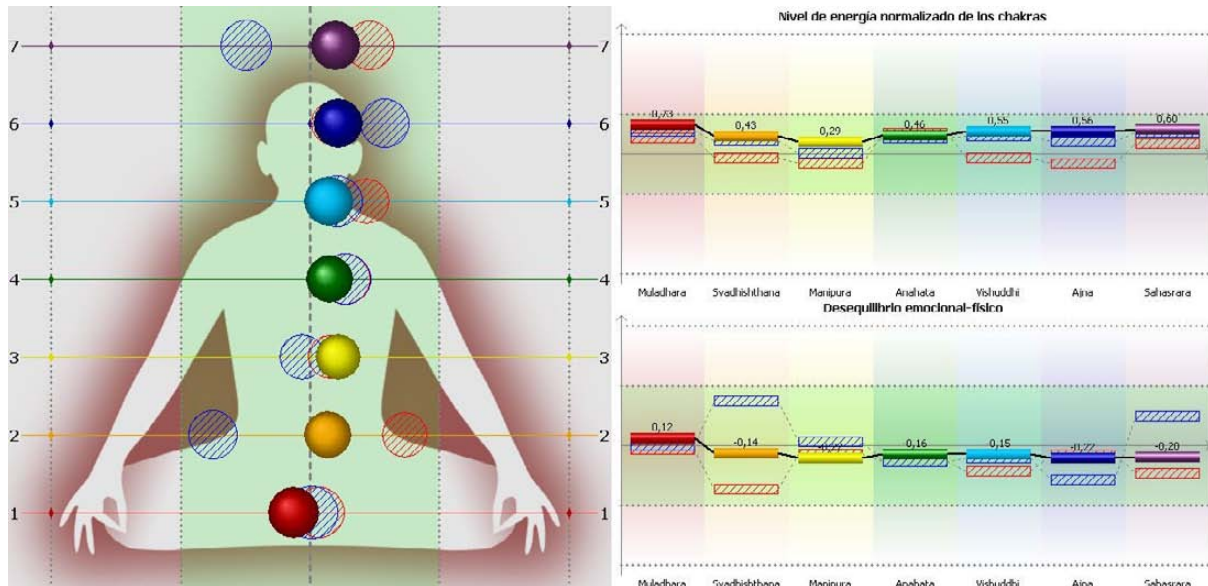
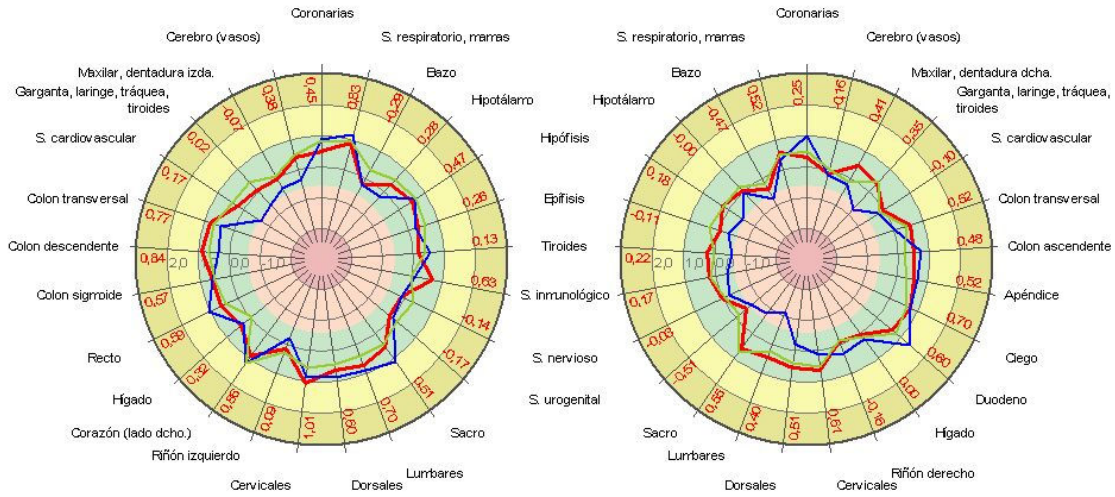


Fig 3: efecto del ANTIGEORADIC n°3 en los niveles de energía de los chakras (VIRTUAL CHAKRA). En rojo niveles iniciales, en azul desequilibrio producido por fuentes electromagnéticas. En colores nivel de los chakras tras continuar sometido a las fuentes desequilibradoras (4 móviles) pero con protector.

GDV Diagram

Lado izquierdo

Lado derecho



JS(RMS)
0,39 (0,36)

JS(RMS)
0,22 (0,34)

Los diagramas muestran los valores de: sujeto 9 - INQO - Irrágenes GDV sin filtro

NP		JS izquierdo	RMS izquierdo	JS derecho	RMS derecho	Activación
1	sujeto 9 - INQO - Irrágenes GDV sin filtro	0,39	0,36	0,22	0,34	
2	sujeto 9 - DESPUES MOVILES - Irrágenes GDV sin filtro	0,30	0,58	-0,10	0,62	
3	sujeto 9 - DESPUES MOVIL CON PROTECCION - Irrágenes GDV sin filtro	0,42	0,27	0,19	0,29	

©Kírlionics Technologies International

Fig 4: recuperación de los valores iniciales de energía a pesar de estar sometidos a la influencia de 3 móviles, por compensación con el protector ANTIGEORADIC nº 3

Ejemplo de tabla de valores obtenida con el programa DIAGRAM:

SIN PROT CON PROT

Coefficiente de activación

Lado izquierdo

variación %

Nivel de energía vital	0,06	0,07	0,01	16,67
Índ. deseq. del niv. energ. vital	0,25	0,21	-0,04	-16,00
Entropía diagrama	2,11	2,01	-0,1	-4,74
Ojo dcho.	0,01	-0,05	-0,06	-600,00
Oído dcho., nariz, seno maxilar	0,17	0,04	-0,13	-76,47
Maxilar, dentadura dcha.	0,24	0,04	-0,2	-83,33
Garganta, laringe, tráquea, tiroides	0,54	0,07	-0,47	-87,04
Maxilar, dentadura izda.	0,31	0,17	-0,14	-45,16
Oído izdo., nariz, seno maxilar	0,44	0,22	-0,22	-50,00
Ojo izdo.	0,29	0,07	-0,22	-75,86
Cerebro (córtex)	0,13	-0,45	-0,58	-446,15
Colon descendente	0,05	-0,09	-0,14	-280,00
Colon sigmoide	0,06	-0,01	-0,07	-116,67
Recto	0,1	-0,15	-0,25	-250,00
Coxis, pelvis menor	0,03	-0,42	-0,45	-1500,00

Sacro	0,27	-0,12	-0,39	-144,44
Lumbares	0,22	0,02	-0,2	-90,91
Dorsales	0,16	-0,09	-0,25	-156,25
Cervicales	0,26	0,07	-0,19	-73,08
Colon transversal	0,07	-0,13	-0,2	-285,71
S. cardiovascular	0,02	-0,05	-0,07	-350,00
Riñón izquierdo	0	0,07	0,07	#¡DIV/0!
Hígado	-0,16	0,07	0,23	143,75
Abdomen	-0,28	-0,1	0,18	64,29
S. inmunológico	-0,17	-0,24	-0,07	-41,18
Tórax, s. respiratorio	0,05	-0,08	-0,13	-260,00
Cerebro (vasos)	0,07	-0,05	-0,12	-171,43
Hipotálamo	-0,24	0	0,24	100,00
S. nervioso	-0,29	-0,01	0,28	96,55
Bazo	-0,39	0,01	0,4	102,56
S. urogenital	-0,28	0,2	0,48	171,43
Suprarrenales	-0,14	0,26	0,4	285,71
Pancreas	-0,23	0,21	0,44	191,30
Tiroides	-0,09	0,15	0,24	266,67
Hipófisis	0,06	0,29	0,23	383,33
Epífisis	-0,11	0,13	0,24	218,18
Corazón (lado izdo.)	0,37	0,55	0,18	48,65
Riñón izquierdo	0,09	0,3	0,21	233,33
S. respiratorio, mamas	0,19	0,37	0,18	94,74
Yeyuno	0,56	0,56	0	0,00
Corazón (lado dcho.)	0,52	0,52	0	0,00
Coronarias	0,43	0,63	0,2	46,51
Lado derecho			0	#¡DIV/0!
Nivel de energía vital	0,15	0,05	-0,1	-66,67
Índ. deseq. del niv. energ. vital	0,33	0,14	-0,19	-57,58
Entropía diagrama	2,12	2	-0,12	-5,66
Ojo dcho.	-0,14	0,01	0,15	107,14
Oído dcho., nariz, seno maxilar	-0,14	0,16	0,3	214,29
Maxilar, dentadura dcha.	0,18	0,06	-0,12	-66,67
Garganta, laringe, tráquea, tiroides	-0,25	0,38	0,63	252,00
Maxilar, dentadura izda.	-0,19	0,05	0,24	126,32
Oído izdo., nariz, seno maxilar	-0,12	0	0,12	100,00
Ojo izdo.	-0,15	-0,03	0,12	80,00
Cerebro (córtex)	-0,47	-0,17	0,3	63,83
Cervicales	0,56	0,13	-0,43	-76,79
Dorsales	0,5	0,09	-0,41	-82,00
Lumbares	0,53	0,05	-0,48	-90,57
Sacro	0,58	0,13	-0,45	-77,59
Coxis, pelvis menor	0,34	-0,02	-0,36	-105,88
Ciego	0,6	0,15	-0,45	-75,00
Apéndice	0,67	0,16	-0,51	-76,12
Colon ascendente	0,56	0	-0,56	-100,00
Colon transversal	0,46	-0,07	-0,53	-115,22

Tórax, s. respiratorio	-0,17	-0,13	0,04	23,53
S. inmunológico	-0,34	-0,21	0,13	38,24
Vesícula biliar	-0,39	-0,26	0,13	33,33
Hígado	-0,3	-0,11	0,19	63,33
Riñón derecho	-0,32	0,05	0,37	115,63
S. cardiovascular	-0,15	-0,01	0,14	93,33
Cerebro (vasos)	-0,21	-0,19	0,02	9,52
Hipófisis	0,16	0,25	0,09	56,25
Tiroides	0,03	0,14	0,11	366,67
Pancreas	0,13	0,12	-0,01	-7,69
Suprarrenales	-0,07	0,19	0,26	371,43
S. urogenital	0,15	-0,01	-0,16	-106,67
Bazo	-0,06	-0,22	-0,16	-266,67
S. nervioso	-0,11	0,2	0,31	281,82
Hipotálamo	0,09	0,04	-0,05	-55,56
Epífisis	0,06	0,11	0,05	83,33
Duodeno	0,2	0,14	-0,06	-30,00
Íleon	0,17	0,26	0,09	52,94
S. respiratorio, mamas	-0,03	-0,02	0,01	33,33
Riñón derecho	0,22	0,15	-0,07	-31,82
Corazón	0,16	0,11	-0,05	-31,25
Coronarias	0,1	0,04	-0,06	-60,00

Tras el análisis de todos los datos obtenidos se elaborará un **informe de resultados**, en el que se recoge:

- el protocolo seguido
- la valoración de los diferentes parámetros estimados
- las conclusiones de la investigación,
- todos los datos e imágenes analizadas.

El tiempo de elaboración del informe es de aproximadamente 1 mes para un máximo de 3 productos, pudiéndose incrementar si el análisis se hace sobre más productos o sobre más personas.